

# О ЗАДАЧЕ ОПЕРАТИВНОГО КОНТРОЛЯ ТЕПЛОВОГО РЕЖИМА ЭЛЕКТРОННЫХ МИКРОСХЕМ

Б. И. Волков, Е. Б. Постников, Ю. П. Пытьев

(кафедра компьютерных методов физики)

**Методом математического моделирования на основе теории измерительно-вычислительных систем решена задача эффективного размещения датчиков для контроля температуры в мощных микросхемах.**

## Введение

При эксплуатации электронных микросхем, в состав которых входят силовые элементы, выделяющие большое количество тепла, может происходить перегрев микросхемы в отдельных точках, приводящий к выходу из строя тех или иных элементов. Для оперативного контроля возможности перегрева необходимо в каждый момент времени  $t \in [0, T]$  знать температуру любой точки схемы. На практике в некоторых точках схемы могут помещаться датчики, непрерывно измеряющие температуру. Поэтому возникает задача восстановления температуры в каждой точке микросхемы в любой момент времени  $t \in [0, T]$  по результатам измерений температуры в отдельных точках до момента  $t$  включительно. Цель данного исследования — выбор точек размещения датчиков, обеспечивающий наибольшую точность восстановления распределения температуры.

## 1. Постановка задачи

Рассмотрим модельную задачу, в которой подложка с расположенными на ней элементами имеет вид тонкой прямоугольной пластины  $D$  с размерами  $X \times Y \times Z$  (толщина  $Z$  намного меньше  $X$ , так что по оси  $Z$  температура одна и та же). Распределение температуры  $v(x, t)$  на пластине описывается решением краевой задачи для двумерного уравнения теплопроводности. Для простоты рассмотрим одномерную модель:  $D$  — отрезок  $[0, L]$ . Пусть начальная температура пластины и температура окружающей среды равны нулю. Краевая задача в этом случае имеет вид

$$\begin{cases} \frac{\partial v(x, t)}{\partial t} = a^2(x) \frac{\partial^2 v(x, t)}{\partial x^2} - q(x)v(x, t) + f(x, t), \\ \left. \frac{\partial v(x, t)}{\partial x} \right|_{x=0} = 0, \quad \left. \frac{\partial v(x, t)}{\partial x} \right|_{x=L} = 0, \quad v(x, 0) = 0, \end{cases} \quad (1)$$

где  $a^2(x)$  — коэффициент температуропроводности,  $q(x) = h(x)/[c(x)\rho(x)]$ ,  $f(x, t) = F(x, t)/[c(x)\rho(x)]$ ,  $h(x)$  — коэффициент теплообмена с окружающей средой,  $c(x)$  — удельная теплоемкость и  $\rho(x)$  — плотность материала подложки,  $F(x, t)$  — плотность тепловых источников.

Предположим, что область  $D$  представляет собой объединение двух областей:  $D_1$  и  $D_2$ , где  $D_2 = [l, L]$  — область, в которой находятся тепловыделяющие элементы,  $D_1 = [0, l]$  — остальная область. Будем считать, что функция  $f(x, t)$ , описывающая влияние тепловых источников, отлична от нуля только внутри  $D_2$ , причем там она зависит только от  $t$ , а коэффициенты  $a_2$  и  $q$  постоянны в пределах  $D_1$  и  $D_2$  и терпят разрыв на их границе.

При заданной функции  $f$  решение краевой задачи (1) можно записать с помощью функции Грина  $G$ :

$$\begin{aligned} v(x, t) &= \int_0^t \left\{ \int_l^L G(x, x', t - \tau) dx' \right\} f(\tau) d\tau \equiv \\ &\equiv \int_0^t \tilde{G}(x, t - \tau) f(\tau) d\tau, \end{aligned} \quad (2)$$

для определения которой в каждой из областей  $D_1$  и  $D_2$  ставится задача (1) с постоянными коэффициентами, а на границе  $x = l$  выполняются условия сопряжения — непрерывность по  $x$  температуры  $v(x, t)$  и теплового потока  $k(x)\partial v(x, t)/\partial x$ , где  $k(x) = c(x)\rho(x)a^2(x)$  — коэффициент теплопроводности. (В формуле (2) выражение в фигурных скобках обозначено как  $\tilde{G}$ .)

Выражение для  $G$  записывается в виде бесконечного ряда по собственным функциям задачи Штурма–Лиувилля с разрывными коэффициентами. Анализическое решение этой задачи было найдено для представляющего практический интерес случая  $q_2 > q_1$ .

## 2. Редукция измерений

Математическая модель линейной схемы измерений имеет вид

$$\xi = Af + \nu, \quad (3)$$

где  $\xi \in \mathcal{R}$  — искаженный шумом  $\nu \in \mathcal{R}$  выходной сигнал прибора  $A$ , на вход которого поступил сигнал  $f \in \widetilde{\mathcal{R}}$  ( $\mathcal{R}$  и  $\widetilde{\mathcal{R}}$  — евклидовы пространства). Пусть  $f$  — априори произвольный вектор пространства  $\widetilde{\mathcal{R}}$ ,  $\nu$  — случайный вектор пространства  $\mathcal{R}$  с математическим ожиданием  $E\nu = 0$  и заданы линейные операторы:  $A$  и  $\Sigma$  — корреляционный оператор случайного вектора  $\nu$  (задана модель  $[A, \Sigma]$  схемы измерений (3) [1]). В задаче редукции измерения (3) задан

линейный оператор  $U$ , определяющий представляющие интерес параметры  $Uf$  сигнала  $f$ , и требуется определить линейный оператор  $R$  так, чтобы  $R\xi$  можно было интерпретировать как наиболее точную в среднем квадратичном (с. к.) версию  $Uf$  для произвольного сигнала  $f$ . В нашем случае задача редукции разрешима, а с. к. погрешность равна [1]

$$h(R, U) = \min_{R \in \tilde{\mathcal{R}}} \sup_{f \in \tilde{\mathcal{R}}} E \|R\xi - Uf\|^2 = \text{tr } U(A^* \Sigma^{-1} A)^{-1} U^*.$$

В рассматриваемом случае  $\xi$  представляет температуру в точке  $x_d$ , искаженную шумом измерений  $\nu$ ;  $f$  — влияние тепловых источников,  $A$  — интегральный оператор с ядром  $\tilde{G}(x_d, t-\tau)$ . Интересующая нас температура в некоторой точке  $x_0$  может быть интерпретирована как сигнал на выходе прибора  $U$ , если  $U$  — интегральный оператор с ядром  $\tilde{G}(x_0, t-\tau)$ .

Для проведения численных экспериментов были рассмотрены два временных режима: непрерывный с произвольной зависимостью  $f(\tau)$  от времени и режим с переключением, когда  $f(\tau) = f_1$ , если  $\tau \in (0, T_f)$ , и  $f(\tau) = f_2$ , если  $\tau \in (T_f, T)$ . В дискретном варианте функция  $f(\tau)$  приближалась кусочно-постоянной функцией, а функции  $v(x, t)$  и  $\nu(x, t)$  для фиксированного  $x$  задавались своими значениями в узлах равномерной сетки по  $t$ .

### 3. Вычислительный эксперимент

В вычислительном эксперименте по данным измерений температуры в точке  $x_d$  за период  $[T_{d1}, T]$ , где  $T_{d1} > 0$ , были вычислены  $h_T$  и  $\langle h_{(0,T)} \rangle$  — погрешность восстановления температуры в точке  $x_0$  в момент времени  $T$  и средняя погрешность в точке  $x_0$  за весь период от 0 до  $T$ . Получены зависимости этих величин от  $x_d$  при различных фиксированных значениях  $x_0$ . Во всех расчетах полагалось  $\Sigma = I$ ,  $a_1 = a_2 = 5$ ,  $k_1 = k_2$  (все величины даны в безразмерных единицах). Напомним, что тепловые источники находятся лишь в области  $D_2 = [l, L]$ .

Результаты численных расчетов следующие:

1) если измерения проводить начиная с момента времени, близкого к  $t = 0$ , то при любых значениях  $q_1$  и  $q_2$  и для любой точки  $x_0$  минимум погрешностей  $h_T(x_d)$  и  $h_{(0,T)}(x_d)$  достигается в области  $D_2$ ;

2) если температура измеряется не с момента  $t = 0$ , то при достаточно большой разности  $q_2 - q_1$  минимум  $h_T(x_d)$  достигается вне области  $D_2$ , если  $x_0$  находится вне области  $D_2$  (подобная картина наблюдается и для режима с переключением — рис. 1 и для непрерывного режима — рис. 2), а минимум  $h_{(0,T)}(x_d)$  для режима с переключением достигается вне области  $D_2$  для любых  $x_0$  (рис. 3). Для непрерывного режима  $\langle h_{(0,T)} \rangle$  намного больше единицы (даже при  $q_1 = q_2 = 0$ ).

Таким образом, если имеется возможность проводить измерения начиная с  $t = 0$ , то при любых значениях  $q_1$  и  $q_2$  оптимальной областью расположения датчиков является область с источниками тепла.

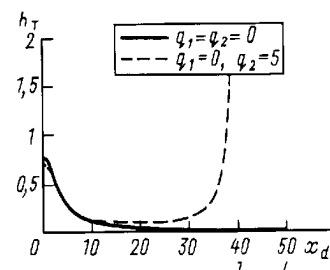


Рис. 1. Зависимости  $h_T(x_d)$  (при  $x_0 = 0$ ). Режим с переключением,  $T_f = T/2 = 5$ . Измерения проводились с момента времени  $T_{d1} = 7$  до  $T = 10$  с шагом  $\Delta t = 0,5$

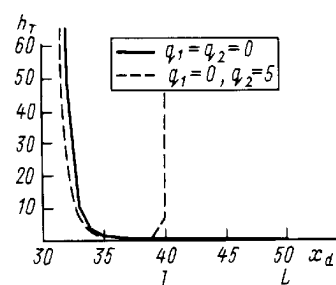


Рис. 2. Зависимости  $h_T(x_d)$  (при  $x_0 = 35$ ) для задачи с непрерывным режимом (количество шагов по  $\tau$  равно 17). Измерения проводились с момента времени  $T_{d1} = 1,1$  до  $T = 10$  с шагом  $\Delta t = 0,445$

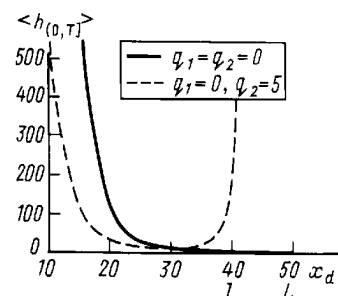


Рис. 3. Зависимости  $\langle h_{(0,T)} \rangle(x_d)$  (при  $x_0 = 50$ ; восстановление проводилось с момента времени  $\tilde{t} = 0,5$  до  $\tilde{t} = T$  с шагом  $\Delta\tilde{t} = 0,95$ ). Режим с переключением,  $T_f = T/2 = 5$ . Измерения проводились с момента времени  $T_{d1} = 7$  до  $T = 10$  с шагом  $\Delta t = 0,5$

Если же измерения могут проводиться только начиная с некоторого момента  $T_{d1} > 0$ , то при достаточно большом значении  $q_2 - q_1$  оптимальной является определенная область микросхемы вне источников (за исключением случая, когда нас интересует температура области с источниками только в момент проведения последнего измерения).

### Литература

- Пытьев Ю.П. Методы анализа и интерпретации эксперимента. М., 1990.

Поступила в редакцию  
17.02.99